JEM/SMILES からの VSLS Bry の推定(その 2)

鈴木 睦, 今井弘二, 佐野琢己(ISAS), 眞子直弘(千葉大), 光田千紘, 井上陽子(富士通 FIP), 尾関博之(東邦大), 秋吉英治(NIES), D. Kinnison(NCAR), 内藤陽子, 西本絵里子(京大), 塩谷雅人(京大/RISH)

JEM/SMILES は 4K 冷却された検出器で O₃, HCl, ClO, HOCl, HO2, BrO, CH3CN, HNO3,O3 同位体 等をサブミリ波帯域でこれまでの衛星観測より高 い精度で 2009/10/12 から 2010/4/2 の局発停止まで 観測した, BrO は SMILES 観測対象の中でも 輝度 温度レベルが低く、より強い O3 同位体に覆われ て正確な retrieval には努力が必要である. その結 果, 最新の L2 v2.3/2.4 (Mitsuda et al.)では, 初期結 果 (Kikuchi et al, 2010)から若干異なる一般的にモ デル研究などで採用されている BrO 値と良く一致 した鉛直分布が得られた事について報告してき た. ここでは極短寿命(VLSL)Bry の推定に関する 最近の進展を報告する.

SMILES は、625 (A), 650(C) GHz 帯で BrO を 観測する. 共に信号が雑音と同程度であり、更に近 傍の line の干渉を受け retrieval は困難で有る. ま た明らかなバイアス誤差を有する. このことは,夜 間に 0 となるべき BrO L2 が正または負の値を示 すことから明らかであり、この夜間バイアス値を 用いることで、Stacknik et al (2013)で示したように、 Band C (650 GHz 帯) BrO 値は, JPL 等の大気球実 験や SCIAMACHY 等の衛星観測と誤差範囲で良 く一致する. SMILES のバイアス補正された緯度 帯平均値は, 0.5 pptv 程度の十分に小さい標準誤差 を示す. そのため, 長年議論され, 現在でも推定値 が 4-8 pptv と大きく拡がりを持つ VSLS Bry の推 定を SMILES で改善できる可能性がある.

SMILES BrO 値から, VSLS Bry は, GEOS-5 気象デ ータで nudging された SD-WACCM の BrO, Bry 値 を使い以下のように推定できる.

 $Bry_{SMILES} = BrO_{SMILES} \cdot (Bry_{WACCM}/BrO_{WACCM})$ (この式は、用いた SD-WACCM 計算値が VSLS Bry を含んでいないため成立する) SD-WACCM の 緯度帯平均は SMILES 観測点の時空間最近傍格子 点を用い両者のサンプリングバイアスを除いてい

Fig. 1-2 は Band C, A での VSLS 推定例(N25-N40, 2009/10/12-23, Stacknik et al と同じサンプル)を示 す. 低高度では、BrO 信号が干渉する O3 等に対し 相対的に弱いこと高度 37km 以上では、夜間に BrO が残存するため、高度 34km の値で議論を行 うと、Band Cが Band Aに対し若干大きな値を示 している. ここで特に 2009/10/12-23 の値を用いる 理由は、この期間のみ音響光学分光計(AOS)のレー ザーダイオード(LD)の温度が地上試験時と同一に 保たれているためである. それ以降は急速な LD の出力劣化の回避のため LD 温度を下げたため、 BrO など微弱信号分子の retrieval に影響が出てい る. Band A が低い VSLS Bry 値を与える理由は, Fig. 2 に示すように、BrO の見かけの感度が Band Aで低いためである. Band A, C の感度差の理由は, 分光パラメターによる可能性が高いが、まだ特定 できていない.

Table 1の Band Cの VSLS Bry 推定値は緯度帯に より異なっている、しかし VSLS Bry は、4.6±0.5 pptv である可能性が高いことを示唆している. こ れはこれまでの VSLS 推定の各論文の誤差よりも 小さな誤差で SMILES が VSLS Bry を推定できる ことを意味すると考える.

Table 1 高度 34km における, 2009/10/12-23 の各緯 度帯平均値から推定される VSLS Bry 値

	Band A	Band C
N25-N40	2.77 ± 0.27	4.95 ± 0.34
S30-S10	-2.07 ± 0.12	3.83 ± 0.12
S10-N10	3.05 ± 0.29	4.73 ± 0.32
N10-N30	1.95 ± 0.29	5.06 ± 1.03

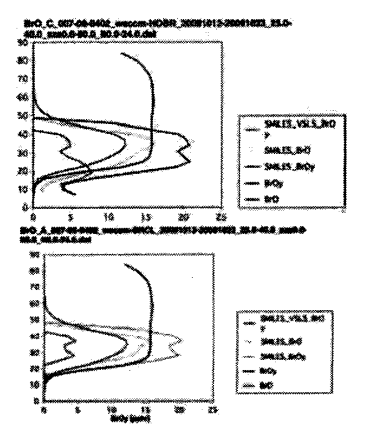


Fig.1VSLS 推定鉛直分布(左 Band C, 右 Band A)

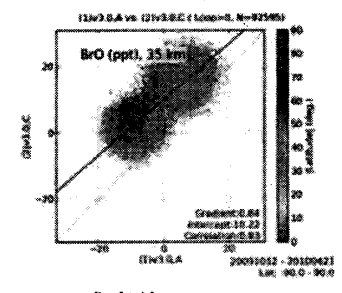


Fig.2 BrO 感度差(XBand A, Y Band C)

References

Kikuchi, K. et al. 2010. J. GeoPhys. Res. 115 (D23): D23306. doi:10.1029/2010JD014379.

Mitsuda, C. et al. 2011. SPIE, 8716, 1-6.

Stachnik, R. A. et al. 2012, ACPD, 12, 228910-28927.